

UNIVERSITATEA ALEXANDRU IOAN CUZA IAȘI

FACULTATEA DE INFORMATICĂ



LUCRARE DE LICENȚĂ

Recunoașterea fețelor

propusă de

Păuleț Claudia

Sesiunea: *iulie, 2012*

Coordonator științific
Dr. Adrian Iftene

UNIVERSITATEA ALEXANDRU IOAN CUZA IAȘI
FACULTATEA DE INFORMATICĂ

Recunoașterea fețelor

Păuleț Claudia

Sesiunea: *iulie,2012*

Coordonator științific

Dr. Adrian Iftene

DECLARAȚIE PRIVIND ORIGINALITATE ȘI RESPECTAREA DREPTURILOR DE AUTOR

Prin prezenta declar că Lucrarea de licență cu titlul "*Titlul complet al lucrării*" este scrisă de mine și nu a mai fost prezentată niciodată la o altă facultate sau instituție de învățământ superior din țară sau străinătate. De asemenea, declar că toate sursele utilizate, inclusiv cele preluate de pe Internet, sunt indicate în lucrare, cu respectarea regulilor de evitare a plagiatului:

- toate fragmentele de text reproduse exact, chiar și în traducere proprie din altă limbă, sunt scrise între ghilimele și dețin referința precisă a sursei;
- reformularea în cuvinte proprii a textelor scrise de către alți autori deține referința precisă;
- codul sursă, imagini etc. preluate din proiecte *open-source* sau alte surse sunt utilizate cu respectarea drepturilor de autor și dețin referințe precise;
- rezumarea ideilor altor autori precizează referința precisă la textul original.

Iași,

Absolvent Păuleț Claudia

(semnătura în original)

DECLARAȚIE DE CONSIMȚĂMÂNT

Prin prezenta declar că sunt de acord ca Lucrarea de licență cu titlul "*Titlul complet al lucrării*", codul sursă al programelor și celelalte conținuturi (grafice, multimedia, date de test etc.) care însoțesc această lucrare să fie utilizate în cadrul Facultății de Informatică.

De asemenea, sunt de acord ca Facultatea de Informatică de la Universitatea Alexandru Ioan Cuza Iași să utilizeze, modifice, reproducă și să distribuie în scopuri necomerciale programele-calculator, format executabil și sursă, realizate de mine în cadrul prezentei lucrări de licență.

Iași,

Absolvent Păuleț Claudia

(semnătura în original)

Introducere

În această lucrare propun o aplicație ce tratează probleme de actualitate din domeniul Viziunii Calculatorului: detectarea fețelor în timp real și recunoașterea fețelor, scrisă într-un limbaj de nivel înalt: Java. Aplicația este împărțită structural în 3 părți : client, server și baza de date.

Pe partea de client este implementată detecția fețelor în timp real, folosind librăria open source OpenCv, ce implementează algoritmul Viola – Jones [1][2]. Acesta se împarte în 2 părți principale:

- Faza de antrenament, ce este compusă din extragerea de trăsături de tip Haar, identificarea și antrenarea unor clasificatori prin algoritmul AdaBoost;
- Faza de detecție a fețelor, bazată pe stagii din cascada de clasificatori care decid dacă în imagine se află sau nu o față.

Pe partea de server am implementat algoritmul Nefian – Hayes [3][4] de recunoaștere a fețelor, care folosește un HMM integrat (HMM 2D). Algoritmul se împarte în 2 părți principale:

- În prima fază se antrenează HMM-ul integrat extrăgând vectori de observație din setul de imagini de antrenament și construind parametrii specifici unei persoane. Vectorii de observație sunt construiți din coeficienții 2D-DCT a pixelilor imaginii.
- În a doua fază se aplică algoritmul Viterbi 2D integrat pe toți HMM din baza de date, cea mai mică distanță reprezentând persoana recunoscută.

Aplicația este integrată cu api-ul de la Facebook și este ușor de utilizat, fiind astfel o completare a rețelei sociale, fapt ce îi oferă un grad de atractivitate.

Motivație

În ultimul timp se poate observa un interes crescând pentru domeniul Viziunea Calculatoarelor¹ (Computer Vision), care a fost introdus în numeroase domenii de activitate, precum industrie robotizată, supraveghere, navigație, interacțiune om – robot, detecția evenimentelor. Viziunea Calculatoarelor este o arie de interes pentru cercetare și se încearcă o continuă dezvoltare și expandare a cunoștințelor în acest domeniu. Din aceste motive mi-am îndreptat atenția spre o lucrare ce tratează unele aspecte importante ale acestui domeniu: detecția fețelor în timp real și recunoașterea fețelor.

De asemenea, rețelele sociale au cunoscut de câțiva ani încoace o creștere înfloritoare a numărului de utilizatori și a timpului petrecut online. Printre acestea se numără și site-ul Facebook, de aceea am ales ca aplicația mea să comunice cu această rețea socială, astfel devenind mai atractivă pentru utilizatorii Facebook și mai ușor de folosit.

Nu în ultimul rând, am ales să fie o aplicație pe telefonul mobil, pe platforma Android, deoarece aceasta este una din cele mai răspândite și mai populare platforme pentru telefoanele mobile și permite flexibilitate în folosirea aplicației, fiind astfel accesibilă oriunde, oricând.

¹ Computer Vision - http://en.wikipedia.org/wiki/Computer_vision

CUPRINS

Introducere.....	5
Motivație	6
Cap 1 - Descrierea domeniului de recunoaștere a fețelor	8
1.1. Detecția fețelor	8
1.2. Recunoașterea fețelor.....	13
Cap 2 – Structura aplicației	16
2.1 Clientul	16
2.2 Serverul	18
2.3 Baza de date	29
Cap. 3 – Implementare.....	30
3.1. Clientul	30
3.1.1. Detecția fețelor	30
3.1.1. Detalii legate de platforma Android.....	32
3.2 Serverul	35
3.2.1. Recunoașterea fețelor.....	35
3.2.1. Legătura cu baza de date	37
Concluzi	39
De asemenea, îmi propun sa extind aplicația să conțină și opțiunea de a rula detecția și recunoașterea fețelor încărcând poze sau videoclipuri din memorie.	39
Bibliografie:	40

Cap 1 - Descrierea domeniului de recunoaștere a fețelor

1.1. Detectia fețelor

Detectia fețelor este tehnologia care se ocupă cu determinarea locației și dimensiunilor fețelor umane în diferite poze, ignorând orice altceva, cum ar fi clădiri, copaci sau corpuri. Detectia fețelor poate fi privită ca un caz specific de detecție obiect-clasă, ce se ocupă cu determinarea locației și dimensiunilor tuturor obiectelor ce aparțin unei clase într-o imagine dată [4].

Tehnici de detecție a fețelor¹:

- a) Găsirea fețelor în imagini cu fundal controlat¹ – se folosesc doar imagini cu fundal monocolor sau cu un fundal static predefinit. Îndepărtarea fundalului asigură încadrarea feței.
- b) Găsirea fețelor după culoare^{1,2} - dacă baza de date conține imagini color, se poate folosi culoarea specifică a pielii pentru a detecta segmente ale feței. Dezavantaj: această metodă nu funcționează pentru toate nuanțele de piele și nu este robust în condiții de variație a luminii; în plus, se pot alege obiecte cu culori similare pielii datorită folosirii segmentării culorilor. Avantaj: lipsa restricțiilor asupra orientării și dimensiunilor fețelor permite algoritmului să suporte fundaluri complexe.
- c) Găsirea fețelor după mișcare^{1,2} – pentru detecția în timp real se folosește faptul că fețele sunt tot timpul în mișcare. Calculând aria în mișcare va rezulta segmentul de față. Dezavantaj: pot exista și alte obiecte care să se miște pe fundal. O mișcare specifică feței este clipitul. Detectând un șablon de clipiri într-o secvență de imagini se poate detecta prezența unei fețe, deoarece ochii sunt dispuși simetric și clipesc simultan, eliminând posibilitatea de mișcări similare în video. Fiecare imagine este scăzută din cea anterioară, imaginea diferenței arătând limitele pixelilor mișcați.
- d) Folosirea unei combinații dintre tehnicile de mai sus¹ – prin combinarea mai multor tehnici se obțin rezultate mai bune. Mai întâi, se poate folosi detecția după culoare, apoi se aplică modele de fețe pentru a elimina detecțiile false de culoare și pentru a extrage trăsături precum ochi, nas, gură.

¹Tehnici de detecție a fețelor - <http://www.facedetection.com/facedetection/techniques.htm>

²"Filipe Tomaz face detection and recognition". W3.ualg.pt. Retrieved 2011-02-15.

- e) Găsirea fețelor în medii necondiționate¹ - propune detecția fețelor indiferent de mediu, devenind cea mai complexă problemă.

Algoritmul Viola-Jones de detecție a fețelor [1],[2]

O descoperire importantă în detecția fețelor este algoritmul Viola-Jones, publicat în 2001, deoarece este primul algoritm de detecție în timp real și unul din cei mai eficienți din punct de vedere al complexității.

Tehnica algoritmului se bazează pe utilizarea trăsăturilor de tip Haar², care sunt evaluate repede printr-o nouă reprezentare a imaginii. Bazat pe conceptul de „Imagine integrală”³, se generează un set mare de trăsături și se utilizează algoritmul AdaBoost⁴ pentru a reduce setul supra-complet, iar introducerea arborelui degenerativ de clasificatori furnizează în cazul interferențelor.

Primul pas al algoritmului este acela de a transforma imaginea de intrare într-o imagine integrală, realizată prin schimbarea valorii fiecărui pixel, astfel încât să fie egală atât cu suma tuturor pixelilor de deasupra lui, cât și a tuturor pixelilor din stânga lui. Aceasta permite calcularea sumei oricărui dreptunghi folosind doar 4 valori, cele din colțurile figurii, precum se demonstrează în figura 1.1.

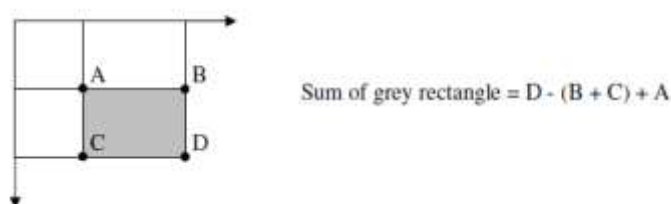


Fig. 1.1. Calcularea sumei unui dreptunghi. [3]

¹ Tehnici de detecție a fețelor - <http://www.facedetection.com/facedetection/techniques.htm>

² Trăsături de tip Haar - Viola and Jones, "Rapid object detection using boosted cascade of simple features", Computer Vision and Pattern Recognition, 2001

³ Imagine integrală - http://en.wikipedia.org/wiki/Integral_imaging

⁴ AdaBoost algoritm - AdaBoost Presentation, summarizing Adaboost(Jan Sochman, Jiri Matas)

Algoritmul Viola-Jones analizează o sub-fereastră dată folosind trăsăturile formate din 2 sau mai multe dreptunghiuri. Se folosesc trăsăturile¹ simple în locul pixelilor, deoarece trăsăturile pot codifica cunoștințe dificile de învățat prin antrenamente pe un număr finit de date și deoarece sistemele bazate pe trăsături sunt mult mai rapide decât cele bazate pe pixeli [3].

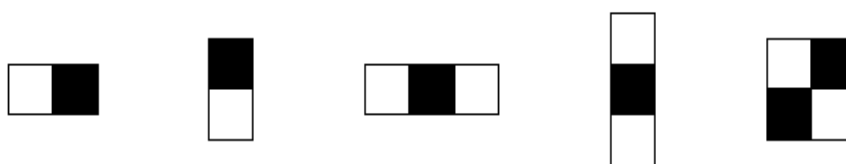


Fig. 1.2. Diferite tipuri de trăsături. [3]

Fiecare trăsătură are o singură valoare, calculată scăzând suma dreptunghiurilor albe din suma dreptunghiurilor negre. Scopul este de a crea o plasă de trăsături capabile de a detecta fețe.

Pentru aceasta se folosește algoritmul AdaBoost², un algoritm de învățare ce primește un set de trăsături și un set de antrenament de imagini negative și pozitive și își construiește un clasificator puternic prin combinarea măsurată a clasificatorilor slabi. Orice trăsătură este considerată a fi un potențial clasificator slab, reprezentat matematic sub forma din figura 1.3.

$$h(x, f, p, \theta) = \begin{cases} 1 & \text{if } pf(x) > p\theta \\ 0 & \text{otherwise} \end{cases}$$

Fig 1.3. Forma matematică a unui clasificator slab, unde: x = sub-fereastră de 24*24 pixeli,

f = trăsătura aplicată, p = polaritatea, θ = pragul care decide dacă x e pozitiv sau negativ.[3]

¹ Trăsături de tip Haar - Viola and Jones, "Rapid object detection using boosted cascade of simple features", Computer Vision and Pattern Recognition, 2001

² AdaBoost algorithm - AdaBoost Presentation, summarizing Adaboost(Jan Sochman, Jiri Matas)

- Given examples images $(x_1, y_1), \dots, (x_n, y_n)$ where $y_i=0,1$ for negative and positive examples.
- Initialize weights $w_{l,i} = \frac{1}{2m}, \frac{1}{2l}$ for $y_i=0,1$, where m and l are the numbers of positive and negative examples.
- For $t=1, \dots, T$:
 - 1) Normalize the weights, $w_{l,i} \leftarrow \frac{w_{l,i}}{\sum_{j=1}^n w_{l,j}}$
 - 2) Select the best weak classifier with respect to the weighted error:

$$\epsilon_t = \min_{f,p,\theta} \sum_i w_i |h(x_i, f, p, \theta) - y_i|$$
 - 3) Define $h_t(x) = h(x, f_t, p_t, \theta_t)$ where f_t, p_t and θ_t are the minimizers of ϵ_t .
 - 4) Update the weights:

$$w_{t+1,i} = w_{t,i} \beta^{1-e_i}$$

where $e_i = 0$ if example x_i is classified correctly and $e_i = 1$ otherwise, and $\beta_t = \frac{\epsilon_t}{1-\epsilon_t}$
- The final strong classifier is:

$$C(x) = \begin{cases} 1 & \text{if } \sum_{t=1}^T \alpha_t h_t(x) \geq \frac{1}{2} \sum_{t=1}^T \alpha_t \\ 0 & \text{otherwise} \end{cases}$$

where $\alpha_t = \log \frac{1}{\beta_t}$

Fig. 1.4. Algoritmul AdaBoost modificat (în pseudocod). [3]

O parte importantă a algoritmului este determinarea celei mai bune trăsături, a polarității și a pragului. Cea mai bună trăsătură e determinată pe baza erorii de greutate care o produce. După cum se poate vedea în figura 1.4, greutatea unui exemplu bine clasificat este scăzută, iar a unui exemplu clasificat greșit e păstrată constantă. Astfel, a doua trăsătură este obligată să dea mai multă atenție exemplelor clasificate greșit de către prima trăsătură.

Deoarece timpul de evaluare este constant indiferent de mărimea datelor de intrare, iar în cadrul unei singure imagini un număr excesiv de mare de sub-ferestre evaluate sunt negative, un singur clasificator puternic devine inefficient și prin urmare apare nevoia unei cascade de clasificatori¹. Aceasta e construită din stagii ce conțin câte un clasificator puternic, fiecare stadiu având scopul de a determina dacă o sub-ferastră nu este cu siguranță o față sau poate este o față. [3]

¹Cascade classifiers - Viola, Jones: Robust Real-time Object Detection, IJCV 2001

Când se găsește o non-față, sub-fereastra este aruncată imediat. Când o sub-fereastră e clasificată ca o posibilă-față, ea este trecută la următorul stadiu din cascadă, precum se poate observa în figura 1.5.

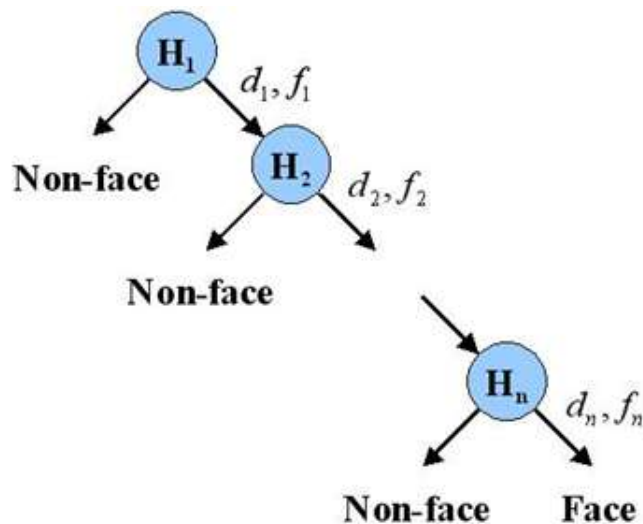


Fig. 1.5. Clasificarea în cascadă a sub-ferestrelor.¹

Astfel Paul Viola și Michael Jones au prezentat o abordare de detecție a fețelor care minimizează timpul computațional, în timp ce asigură acuratețea detecției.[6]

¹ <http://cristi.selfip.com/wordpress/2011/11/algorithmi-de-detectia-fetelor-clasificatori-harr-algorithm-viola-jones/>

1.2. Recunoașterea fețelor

Recunoașterea fețelor¹ este procesul de identificare și verificare a fețelor detectate într-o imagine, făcând potrivirea cu una din multele fețe cunoscute sistemului (compararea unei trăsături selectate cu imaginile dintr-o bază de date). Astfel, recunoașterea fețelor completează detecția fețelor.

Algoritmii de recunoaștere pot fi divizați în două abordări principale^{1,2}:

- a) Geometric – caută trăsături de distincție (bazat pe trăsături);
- b) Fotometric – o abordare statistică care distilează imaginea în valori și compară valorile cu șabloane pentru a elimina variațiile (bazat pe vedere).

Pentru că interesul pentru recunoașterea fețelor a continuat, s-au dezvoltat mulți algoritmi, trei dintre care au fost bine studiați în literatura de specialitate [10].

1) Analiza componentelor principale³ (PCA) [10]. Adesea referit ca algoritmul ce folosește eigenface-uri⁴, PCA a fost tehnica introdusă de Kirby și Sirovich în 1988. Galeria de imagini și imaginile de probă trebuie să aibă aceeași dimensiune și să fie normalizate, astfel încât ochii și gura subiecților să se alinieze în imagini.

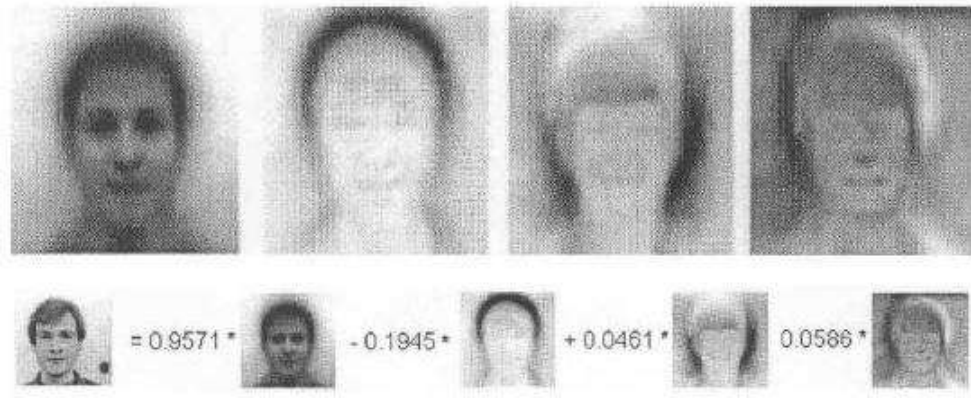


Fig. 1.6. Vizualizare a abordării cu eigenface-uri: fiecare față este reprezentată ca o combinație liniară de eigenface-uri⁵.

¹ Smith, Kelly. "Face Recognition"

² <http://www.biometrics.gov/Documents/facerec.pdf>

³ Principal Components Analysis - http://en.wikipedia.org/wiki/Principal_component_analysis

⁴ Eigenface - D. Pissarenko (2003). Eigenface-based facial recognition

⁵ [http://ml.cecs.ucf.edu/meli/wiki/index.php/Face_Recognition_Using_Principal_Components_Analysis_\(PCA\)](http://ml.cecs.ucf.edu/meli/wiki/index.php/Face_Recognition_Using_Principal_Components_Analysis_(PCA))

Apoi se folosesc mijloace de compresie a datelor și se selectează structura de șabloane faciale cea mai eficientă și mai mică din punct de vedere al dimensiunii. Această reducere descompune structura feței în componente ortogonale, cunoscute drept eigenface-uri. Fiecare imagine poate fi reprezentată ca o sumă de greutatea (vector de trăsături¹) al eigenface-urilor, stocate într-un șir 1D, precum se observă în figura 1.6. O imagine de probă e comparată cu o imagine din galerie măsurând distanța dintre vectorii de trăsături.

PCA necesită fața completă și frontală pentru a obține performanțe. Principalul avantaj al acestei tehnici este că poate reduce necesitățile de date pentru identificarea unui individ la 1/1000 din datele prezentate.

2) Analiza discriminantului linear² (LDA) [10]. Este o abordare statistică de clasificare a mostrelor de clase necunoscute, bazându-se pe mostre de antrenament din clase cunoscute. Această tehnică are scopul de a maximiza variația între clase (S_s) și de a minimiza variația înăuntru unei clase (S_w), cu alte cuvinte, de a maximiza rația $\det|S_s|/\det|S_w|$ ³. Când se lucrează cu date de dimensiune mare, această tehnică se înfruntă cu problema mostrei de dimensiune mică, care apare atunci când există un număr restrâns de mostre de antrenament disponibile comparativ cu dimensiunea spațiului mostrei.



Fig. 1.7. Exemplu de 6 clase folosind LDA.⁴

¹Eigenvector - "Eigenvector". Wolfram Research, Inc.. Retrieved 29 January 2010

²Linear Discriminant Analysis - http://en.wikipedia.org/wiki/Linear_discriminant_analysis

³ <http://www.face-rec.org/algorithms/#Image>

⁴ <http://www.biometrics.gov/Documents/facerec.pdf>

3) Potrivirea prin graficul ciorchine elastic¹ (EBGM) [10]. Se bazează pe faptul că fețele din realitate au multe caracteristici non-liniare, care nu sunt adresate de alte metode liniare. O transformare Gabor wavelet² creează o arhitectura dinamică de legături, care proiectează fața într-un grid elastic. Un jet Gabor³ este un nod în gridul elastic (notat prin cercuri în figura 1.8), ce descrie comportamentul imaginii în jurul unui pixel. Rezultatul unei convoluții a imaginii cu un filtru Gabor⁴ este folosit pentru a detecta forme și extrage trăsături, folosind procesarea imaginii. Recunoașterea se face pe baza similarității răspunsului filtrului Gabor pe fiecare nod Gabor.

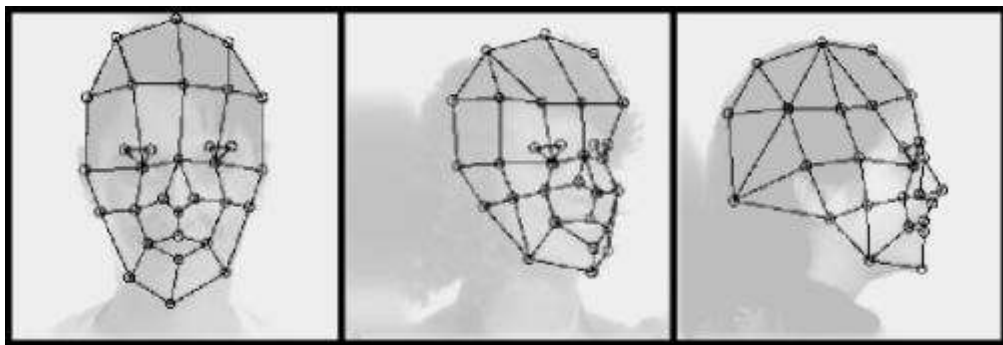


Fig. 1.8. Imagini transformate Gabor wavelet.⁵

¹Elastic Bunch Graph Matching - <http://www.face-rec.org/algorithms/#Image>

²Wavelet transform - Chui, Charles K. (1992). An Introduction to Wavelets.

³Jet - Saunders, D. J., "The Geometry of Jet Bundles", Cambridge University Press, 1989

⁴Gabor filter - Movellan, Javier R.. "Tutorial on Gabor Filters"

⁵<http://www.biometrics.gov/Documents/facerec.pdf>

Cap 2 – Structura aplicației

Aplicația are o structură de tip client – server – bază de date, după cum urmează.

2.1 Clientul

Clientul aplicației este principala comunicare cu utilizatorul și a fost dezvoltat pe platforma Android (limbajul Java). La deschiderea aplicației utilizatorul este rugat să se logheze cu contul de Facebook (după cum se observă în Fig. 2.1), aplicația trimițând la server informațiile utilizatorului, care sunt ulterior folosite în procesul de recunoaștere.



Fig. 2.1. Logare cu Facebook.

O dată logat, utilizatorul poate îndrepta camera spre diferite persoane, aceasta detectând toate fețele ce se încadrează în ecran, în timp real. La detectarea unei noi fețe se desenează pe ecranul telefonului mobil un pătrat verde care încadrează detecția (Fig. 2.2). Detecția fețelor în timp real este implementată folosind librăria open source OpenCv, ce aplică algoritmul Viola – Jones [1][2]. Acesta se împarte în 2 părți principale:

- Faza de antrenament, ce este compusă din extragerea de trăsături de tip Haar, identificarea și antrenarea unor clasificatori prin algoritmul AdaBoost;
- Faza de detecție a fețelor, bazată pe stagii din cascada de clasificatori care decid dacă în imagine se află sau nu o față.

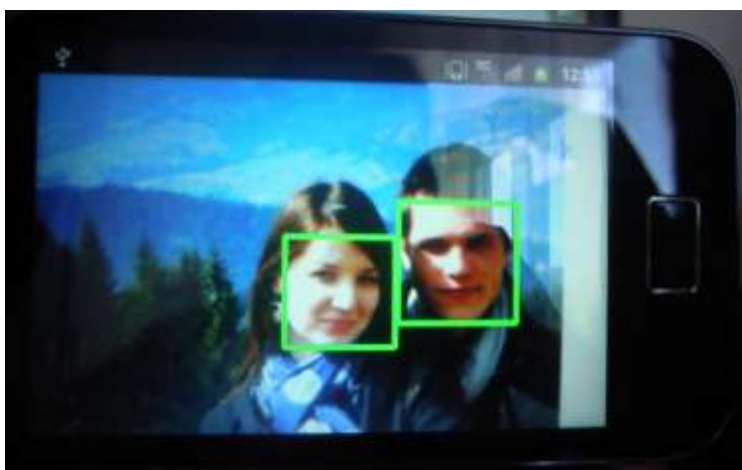


Fig. 2.2. Rezultate pentru detecția fețelor.

Utilizatorul poate da click pe unul din pătratele ce încadrează fețele detectate la un moment dat pentru a trimite la server o cerere de recunoaștere. La primirea răspunsului de la server, utilizatorul poate vedea unele informații despre persoana recunoscută: nume, vârstă, sex, statusul relației, precum și un link către profilul de Facebook al persoanei respective (Fig. 2.3.). În acest moment se poate da click pe link și părăsi aplicația, deschizându-se adresa în browser, sau se poate reveni la procesul de detecție a fețelor de câte ori se dorește.



Fig. 2.3. Rezultatele cererii de recunoaștere a fețelor.

2.2 Serverul

Serverul este scris în limbajul Java și are două funcționalități principale:

- 1) Face legătura între client și baza de date.
- 2) Rulează algoritmi de recunoaștere a feței.

1) Legătura dintre client și baza de date.

Serverul comunica cu clientul prin protocolul TCP/IP printr-o serie de mesaje ce aparțin de o bibliotecă comună, trimise prin serializare. În momentul logării utilizatorului pe client, serverul primește mesajul de logare, sub formă de obiect JSON, pe care îl poate salva în baza de date (daca utilizatorul nu există) sau îl poate updata (dacă utilizatorul există și are informații modificate). În momentul în care se face o cerere de recunoaștere din partea clientului, serverul încarcă din baza de date pozele aferente fiecărui utilizator. Dacă cererea de recunoaștere are un răspuns pozitiv, serverul atribuie din baza de date informațiile persoanei recunoscute și le trimite clientului. Schema comunicării dintre client și server, și server și baza de date este prezentată în Fig. 2.4.

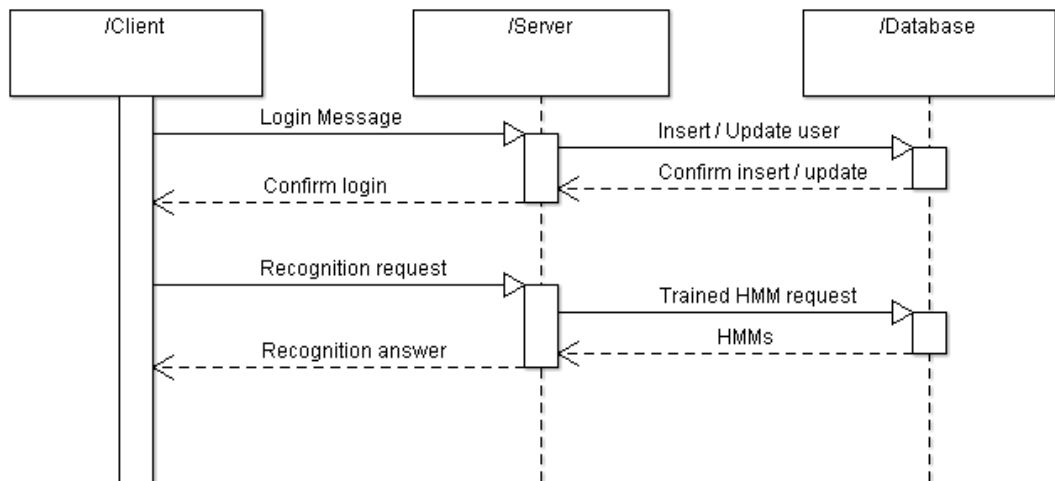


Fig. 2.4. Comunicarea client – server – baza de date.

2) Algoritmul de recunoaștere a fețelor [3][4].

Ca algoritmul de recunoaștere a feței am implementat algoritmul propus de Ara V. Nefian² și Monson M. Hayes III.

Algoritmi anteriori de recunoaștere a fețelor cuprind metoda corelației, metoda vectorilor proprii și metoda discriminantului linear. Pentru că în aceste metode rata de recunoaștere descrește semnificativ atunci când orientarea feței sau mărimea imaginii se modifică, Nefian și Hayes încearcă o nouă abordare, folosindu-se de Modelele Markov Ascunse³ (HMM), care s-au bucurat până în prezent de un mare succes în recunoașterea vorbirii.

HMM integrat

Metodele bazate pe HMM au pornit de la ideea ca cele mai semnificative trăsături faciale a unei imagini frontale apar într-o ordine naturală, de sus în jos: frunte, ochi, nas, gură și bărbie.

De aceea, imaginea unei fețe poate fi modelată cu un HMM 1D atribuind fiecare dintre aceste regiuni unei stări. Inițial, HMM-ul 1 dimensional a fost extins la un HMM pseudo 2 dimensional de către Samaria⁴, adăugând un bloc de marcă la sfârșitul fiecărei linii din imagine și o stare de sfârșit de linie la sfârșitul fiecărui automat HMM orizontal, pentru a păstra forma 2D a imaginii, după cum se poate observa în Fig. 2.5.

² Ara V. Nefian - <http://ti.arc.nasa.gov/profile/anefian/>

³ Hidden Markov Model - http://en.wikipedia.org/wiki/Hidden_Markov_model

⁴ F. Samaria and S. Young, „HMM based architecture for face identification”, Image and Computer Vision, October 1994.

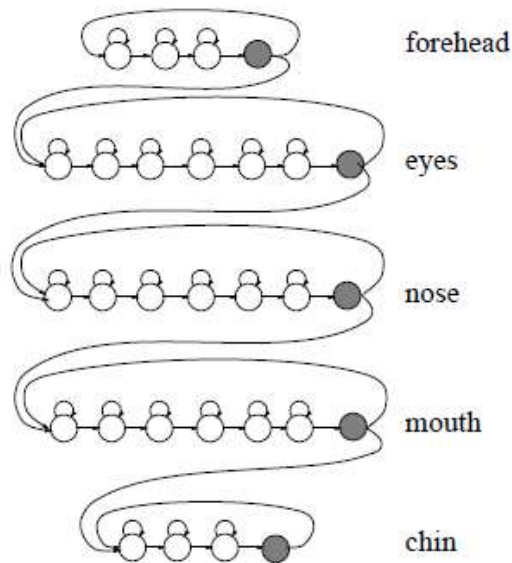


Fig. 2.5. HMM 1 dimensional cu stare de sfârșit de linie.[4]

Algoritmul de recunoaștere a fețelor propus de Nefian și Hayes se bazează însă pe un HMM integrat (embedded HMM), 2D, folosit de Kuo și Agazzi⁵ pentru recunoașterea caracterelor (OCR).

Un HMM 1D poate fi generalizat pentru a-i oferi o structură 2D prin permiterea fiecărei stări din HMM-ul general să fie un HMM. Astfel, HMM-ul constă într-un set de superstări, fiecare din acestea având un set de stări integrate. Superstările sunt folosite pentru a modela datele într-o direcție (pe înălțimea pozei), în timp ce stările integrate modelează datele pe cealaltă direcție (pe lățime).

Elementele unui HMM integrat sunt:

- Numărul de superstări, N_0 , și setul de superstări, $S_0 = \{S_{0,i}\}$, $0 \leq i \leq N_0$. Starea modelului la timpul t este dată de $q_t \in S_0$, $0 \leq t \leq T$, unde T este lungimea secvenței de observație.
- Setul inițial de distribuție a superstărilor, $\Pi_0 = \{\pi_{0,i}\}$, unde $\pi_{0,i}$ reprezintă probabilitatea de a fi în starea i la timpul 0;
- Matricea de tranziție între superstări, $A_0 = \{a_{0,ij}\}$, $0 \leq i, j \leq N_0$, unde $a_{0,ij}$ reprezintă probabilitatea de a trece din superstarea i în superstarea j : $a_{0,ij} = P[q_t = S_j / q_{t-1} = S_i]$, cu constrângerea că $\sum_{j=1}^{N_0} a_{0,ij} = 1$;

⁵ Kuo and Agazzi, „ Keyword spotting in poorly printed documents using pseudo 2 - d Hidden Markov Models, IEEE Transactions on Pattern analysis and Machine Intelligence, 1994

- Parametrii HMM-urilor integrate Λ , care includ :
 - o Numărul de stări integrate din superstarea k , $N_1^{(k)}$, și setul de stări integrate, $S_1^{(k)} = \{S_{1,i}^{(k)}\}$, $0 \leq i \leq N_1^{(k)}$;
 - o Setul inițial de distribuție a stărilor, $\Pi_1^{(k)} = \{\pi_{1,i}^{(k)}\}$, unde $\pi_{1,i}^{(k)}$ reprezintă probabilitatea de a fi în starea i a superstării k la timpul 0 ;
 - o Matricea de tranziție între stări, $A_1^{(k)} = \{a_{1,ij}^{(k)}\}$, $0 \leq i, j \leq N_1^{(k)}$, unde $a_{1,ij}$ reprezintă probabilitatea de a trece din starea i în starea j (cu aceleași constrângeri ca mai sus).
- Matricea de probabilități de emiterie: $B^{(k)} = \{b_i^{(k)}(O_{t_0, t_1})\}$ pentru setul de observații, unde O_{t_0, t_1} reprezintă vectorul de observație la linia t_0 și coloana t_1 . Într-un HMM cu valori continue, stările sunt caracterizate de funcții de densitate de observații continue. Funcția tipică de densitate folosită este dată în Fig. 2.6.

$$b_i^{(k)}(\mathbf{O}_{t_0, t_1}) = \sum_{m=1}^M c_{im}^{(k)} N(\mathbf{O}_{t_0, t_1}, \mu_{im}^{(k)}, \mathbf{U}_{im}^{(k)}) \quad (1)$$

where $1 \leq i \leq N_1^{(k)}$, $c_{im}^{(k)}$ is the mixture coefficient for the m th mixture in state i of super state k . $N(\mathbf{O}_{t_0, t_1}, \mu_{im}^{(k)}, \mathbf{U}_{im}^{(k)})$ is a Gaussian pdf with mean vector $\mu_{im}^{(k)}$ and covariance matrix $\mathbf{U}_{im}^{(k)}$.

Fig. 2.6. Formulă de calcul pentru simbolul $b_i^{(k)}$. [4]

Fie $\Lambda^{(k)} = (\Pi_1^{(k)}, A_1^{(k)}, B^{(k)})$ setul de parametri care definește superstarea k . Folosind o notație prescurtată, un HMM integrat poate fi definit ca un triplet de forma:

$$\lambda = (\Pi_0, A_0, \Lambda), \text{ unde } \Lambda = \{\Lambda^{(1)}, \Lambda^{(2)} \dots \Lambda^{(N_0)}\}.$$

Deși mai complex decât un HMM 1D, un HMM integrat are o serie de avantaje. În primul rând, complexitatea este proporțională cu suma pătratelor numărului de stări: $\sum_{k=1}^{N_0} (N_1^{(k)})^2$, astfel încât se reduce complexitatea calculelor atât în etapa de antrenare, cât și în cea de recunoaștere. În al doilea rând, se pot obține estimări inițiale mai bune pentru parametrii modelului.

În plus, acest model este mai potrivit pentru modelarea fețelor pentru că exploatează o trăsătură facială foarte importantă: fețele frontale păstrează aceeași structură ca superstările, de sus în jos, și aceeași structură a stărilor din superstări, de la stânga la dreapta. Structura stărilor unui HMM integrat cu probabilități de tranziție diferite de 0 este prezentat în Fig. 2.7.

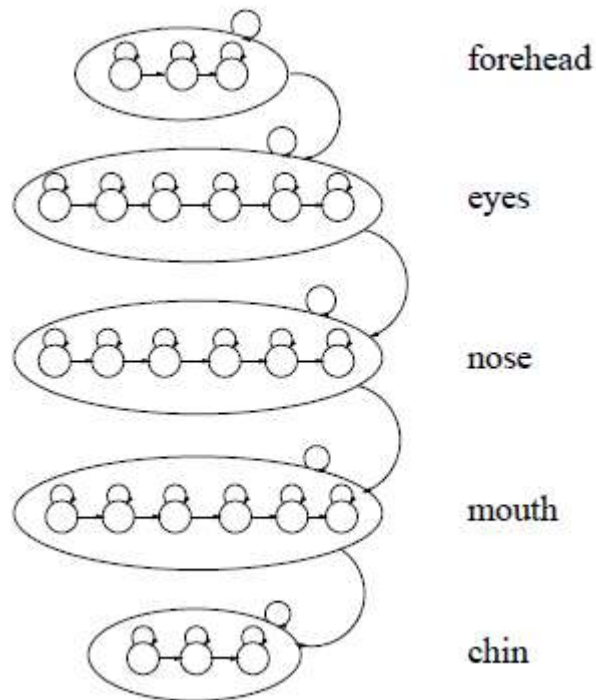


Fig. 2.7. HMM integrat pentru recunoașterea fețelor.[4]

Vectorii de observație

Din fiecare poză de lungime W și înălțimea H se creează vectori de observație. Aceștia se obțin folosind tehnica din Fig. 2.8., unde o imagine este scanată de o fereastră de dimensiune $P \times L$, de la stânga la dreapta și de sus în jos. Suprapunerea între ferestre adiacente este de M pe linii și Q pe coloane. Anterior, ca vectori de observație se foloseau toți pixelii imaginii, de aceea lungimea vectorului de observație era de $P \times L$.

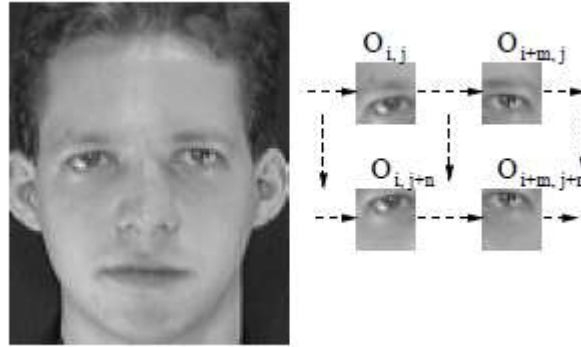


Fig. 2.8. Extragerea blocurilor de observație.[4]

Folosirea pixelilor imaginii are însă 2 mari dezavantaje:

- Valorile pixelilor nu reprezintă trăsături robuste, de vreme ce sunt sensibili la zgomot, rotația imaginii sau shiftare și schimbare de luminozitate.
- Dimensiunea mare a vectorului de observație conduce la complexitate computațională atât în faza de training, cât și în faza de recunoaștere.

Aceste 2 dezavantaje pot fi decisive atunci când se lucrează pe o bază de date voluminoasă sau când sistemul de recunoaștere este folosit pentru aplicații în timp real. De aceea am folosit vectori de observație construiți din coeficienții 2D-DCT⁶ (Discrete Cosine Transform 2D), din fiecare bloc. Proprietățile de compresie și corelare pe care le au coeficienții 2D-DCT îi fac să fie potriviți pentru a fi luați drept vector de observație (Fig. 2.10). Folosirea coeficienților 2D-DCT în locul valorilor pixelilor reduc drastic dimensiunea vectorilor de observație, și implicit, a complexității sistemului de recunoaștere.

Coeficienții 2D-DCT se calculează după formula din Fig. 2.9.

⁶ Discrete Cosine Transform (DCT) - http://en.wikipedia.org/wiki/Discrete_cosine_transform

$$C_u = \begin{cases} \frac{1}{\sqrt{2}} & \text{if } u = 0 \\ 1 & \text{else} \end{cases}$$

$$C_v = (\text{similar to the above})$$

$$F_{vu} = \frac{1}{4} C_v C_u \sum_{y=0}^{N-1} \sum_{x=0}^{N-1} S_{yx} \cos\left(v\pi \frac{2y+1}{2N}\right) \cos\left(u\pi \frac{2x+1}{2N}\right)$$

Fig. 2.9. Formula de calcul pentru 2D-DCT.⁷

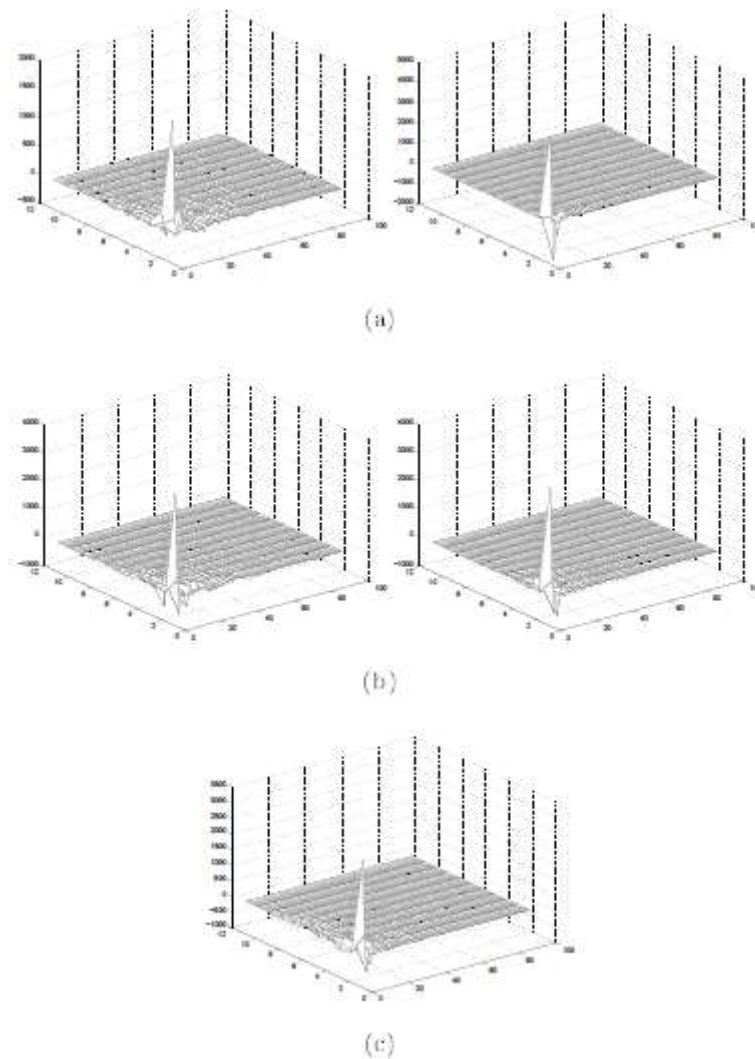


Fig. 2.10. Coeficienți 2D-DCT tipici pentru: a) par (stânga) și frunte (dreapta), b) ochi (dreapta) și nas (stânga), c) gură.[3]

⁷ 2D – DCT: <http://unix4lyfe.org/dct/>

Antrenarea

Fiecărei persoană din baza de date îi corespunde un HMM integrat. Pentru a obține acest model, pentru o persoană folosim un set de poze ce reprezintă mai multe instanțe ale aceleiași fețe. Sunt folosiți vectorii de observație extrași din fiecare bloc pentru a antrena HMM-ul, urmând pașii din Fig. 2.11.

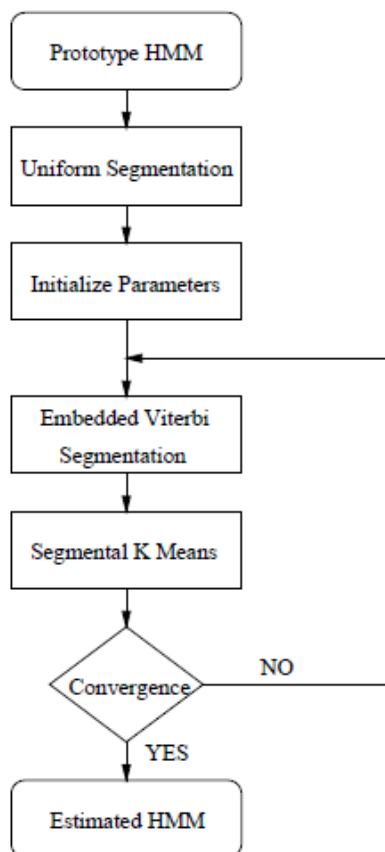


Fig. 2.11. Schema de antrenare a HMM-ului. [4]

Ținând cont de numărul de superstări, de numărul de stări din fiecare stare și de structura de sus în jos și de la stânga la dreapta a prototipului de HMM integrat, datele sunt segmentate uniform pentru a obține o estimare a parametrilor inițiali. Mai întâi se împart observațiile în N_0 superstări, de sus în jos, apoi datele corespunzătoare fiecărei superstări este împărțită uniform, de la stânga la dreapta, în $N_1^{(k)}$ stări.

La următoarea iterație segmentarea uniformă este înlocuită de o segmentare Viterbi, folosind o versiune modificată pentru sistemul integrat (Fig. 2.12).

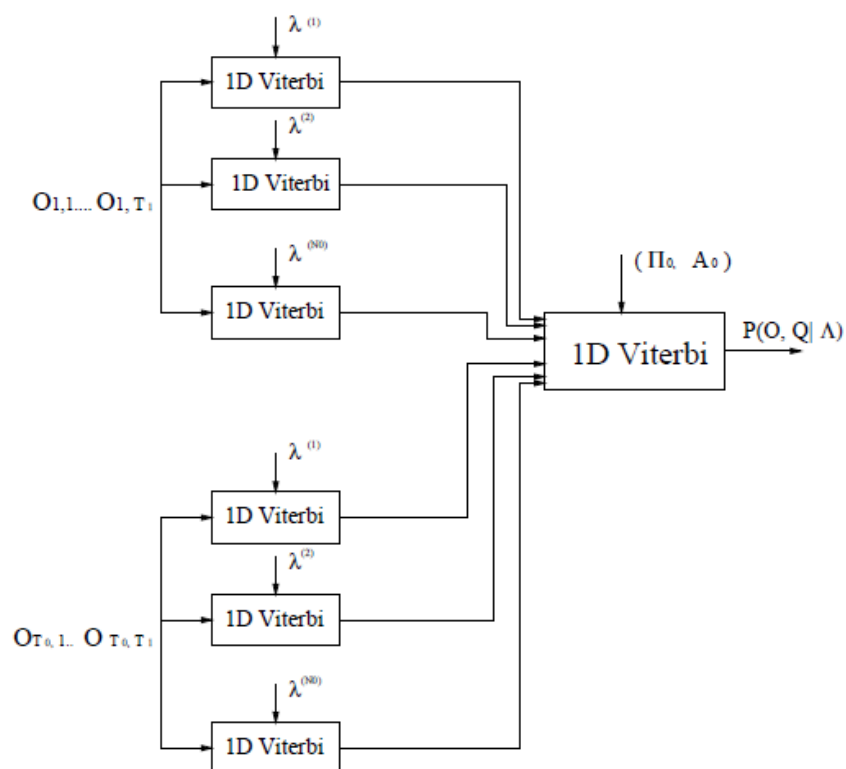


Fig. 2.12. Algoritmul Viterbi dublu integrat. [3]

Algoritmul Viterbi dublu integrat este alcătuit din următorii pași:

- Mai întâi segmentarea Viterbi este aplicata pe linii, și sunt calculate probabilitățile;
- Probabilitățile stărilor și observațiilor dintr-o linie pe modelul superstării respective obținute din segmentarea Viterbi reprezintă probabilitățile superstărilor. Acestea împreună cu probabilitățile de tranziție între superstări A_0 și probabilitățile inițiale ale superstărilor Π_0 sunt folosite pentru a aplica segmentarea Viterbi de sus în josul imaginii și pentru a determina :

$$P(\mathbf{O}_{1,1} \dots \mathbf{O}_{1,T_1}, \dots \mathbf{O}_{T_0,1} \dots \mathbf{O}_{T_0,T_1}, q_{0,1} \dots q_{0,T_0} | \lambda),$$

unde q_{0,t_0} , $1 \leq t_0 \leq T_0$ sunt superstările ce corespund liniei t_0 .

- Parametrii modelului sunt apoi estimați folosind algoritmul de clusterizare k-means⁸. Aceștia se obțin în conformitate cu formulele din Fig. 2.13.:

⁸ Algoritmul k-means - http://en.wikipedia.org/wiki/K-means_clustering

$$a_{1,ij}^{(k)} = \frac{\text{number of transitions from } S_{1,i}^{(k)} \text{ to } S_{1,j}^{(k)}}{\text{number of transitions from } S_{1,i}^{(k)}}$$

$\mu_i^{(k)}$ = sample mean of vector i in super state k

$\mathbf{U}_i^{(k)}$ = sample covariance matrix of vectors in state i of super state k

$$a_{0,ij} = \frac{\text{number of transitions from } S_{0,i} \text{ to } S_{0,j}}{\text{number of transitions from } S_{0,i}}$$

Fig. 2.13. Reguli de estimare a parametrilor. [4]

Iterația se încheie și HMM-ul este inițializat când diferența de scor obținut de algoritmul Viterbi la iterații consecutive este mai mic decât un prag.

Recunoașterea fețelor

Pe poza pe care se încearcă recunoașterea se aplică pașii de preprocesare a imaginii, obținându-se astfel un vector de observație corespunzător imaginii de test. Pe acesta se calculează probabilitatea de emisie a secvenței pe un HMM dat, aplicând algoritmul Viterbi dublu integrat (Fig. 2.14.).

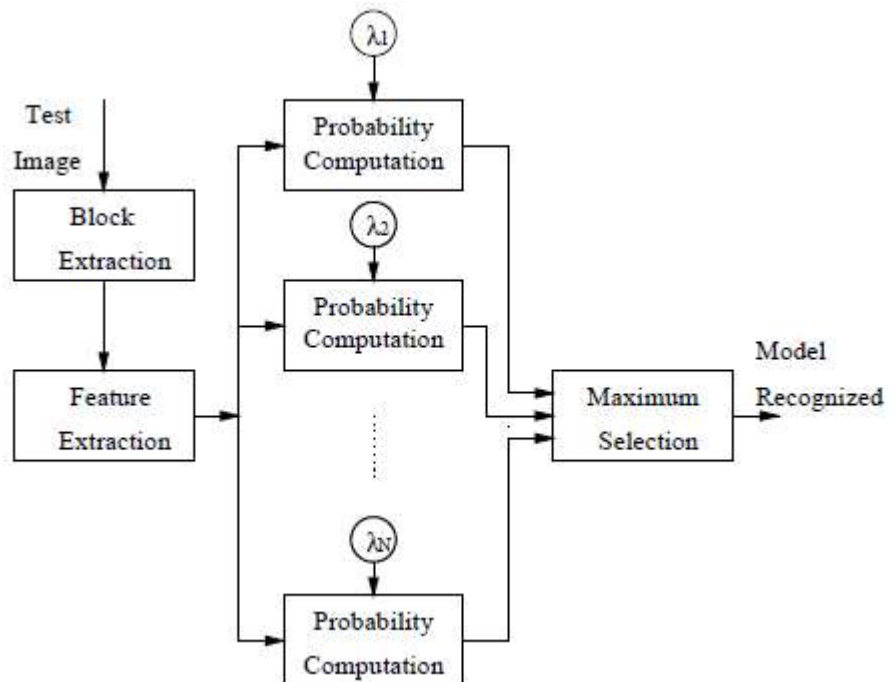


Fig. 2.14. Schema de recunoaștere pentru HMM. [3]

Procedeul se repetă pe toți HMM din baza de date, pe rând, și este ales modelul cu cea mai mare credibilitate: imaginea t este recunoscută ca fața k dacă:

$$P(\mathbf{O}^{(t)}|\lambda_k) = \max_n P(\mathbf{O}^{(t)}|\lambda_n).$$

2.3 Baza de date

Pentru baza de date am folosit sistemul de gestiune MySQL și conține 4 tabele principale: informațiile utilizatorilor, poze, HMM-uri și locațiile curente ale utilizatorilor. Cele 4 tabele au următoarele structuri, după cum sunt prezentate în tabelele 1, 2, 3 și 4.

Nume tabel:	Basic Information					
Nume coloana:	User_id	Name	Birthdate	Gender	Rel_sts	Profile_url
Tipul coloanei:	Varchar	Varchar	Varchar	Varchar	Varchar	Varchar

Tabela 1. Structura tabelii de reținere a informațiilor utilizatorilor.

Nume tabel:	Facebook Photos		
Nume coloana:	Id	User_id	Photo
Tipul coloanei:	Varchar	Varchar	Blob

Tabela 2. Structura tabelii de reținere a pozelor utilizatorilor.

Nume tabel:	Current Location		
Nume coloana:	Loc_id	User_id	Curr_location
Tipul coloanei:	Varchar	Varchar	Varchar

Tabela 3. Structura tabelii de reținere a locației utilizatorilor.

Nume tabel:	Embedded HMMs		
Nume coloana:	Id	User_id	HMM
Tipul coloanei:	Varchar	Varchar	Varchar

Tabela 4 Structura tabelii de reținere a HMM-urilor aferente utilizatorilor.

Cap. 3 – Implementare

3.1. Clientul

3.1.1. Detectia fețelor

Pentru detectia fețelor am folosit algoritmul Viola – Johnes [1][2], implementat de biblioteca open source OpenCV⁹. Aceasta conține deja clasificatorii antrenați, rezultatele antrenamentului fiind salvate în fișiere de tip XML. Pentru partea de antrenament a algoritmului, acești clasificatori trebuie încărcăți în memorie, după cum se vede în Fig. 3.1.

```
CascadeClassifier classifier;  
  
// choose between frontal or profile Face Detection  
if(option == 0)  
    is = context.getResources().openRawResource(  
        R.raw.lbpcascade_frontalface);  
else  
    is = context.getResources().openRawResource(  
        R.raw.harcascade_profileface);  
  
// load the XML classifier file  
classifier = new CascadeClassifier(cascadeFile.getAbsolutePath());
```

Fig. 3.1. Încărcarea fișierului XML cu datele de antrenament pentru cascada de clasificatori, în clasa FaceDetectionView

Pentru partea de detectare a fețelor, pentru a fi posibilă detectia în timp real, este nevoie de conectare la camera aparatului, fapt realizat prin intermediul clasei VideoCapture, ce comunică cu componenta hardware a dispozitivului și a interfeței SurfaceHolder.Callback ce permite modificarea afișării pe ecran în mod programatic. La fiecare captură imaginea este preluată atât color, cât și alb-negru și este procesată precum în Fig. 3.2. , în următorii pași:

- se definește o mărime minimă pentru încadrarea unei fețe (cu cât aceasta este mai mică, cu atât crește complexitatea procesării imaginii);

⁹ OpenCV - <http://opencv.willowgarage.com/wiki/>

- se inițiază detecția pe imaginea alb-negru apelând funcția detectMultiScale() din clasa CascadeClassifier, salvându-se coordonatele fețelor detectate.
- se desenează pătrate la coordonatele detectate pe imaginea color și imaginea rezultată este afișată pe ecran.

```

//connect to the Android camera
capture.retrieve(mRgba, Highgui.CV_CAP_ANDROID_COLOR_FRAME_RGBA);
capture.retrieve(mGray, Highgui.CV_CAP_ANDROID_GREY_FRAME);

if (classifier != null)
{
    // define a minimum size for the face frame
    int height = mGray.rows();
    int faceSize = Math.round(height * 0.25f);

    //remembers the faces coordonates
    f = new LinkedList<Rect>();

    // initiate detection and save the faces coordonates
    classifier.detectMultiScale(mGray, f, 1.1, 2, 2,
        new Size(faceSize, faceSize));

    //draw green rectangles at the faces coordonates
    for (Rect r : f)
        Core.rectangle(mRgba, r.tl(), r.br(),
            new Scalar(0, 255, 0, 255), 3);
}
bmp = Bitmap.createBitmap(mRgba.cols(), mRgba.rows(),
    Bitmap.Config.ARGB_8888);

// display the picture with face rectangles on the screen
if (bmp != null)
{
    Canvas canvas = surface.lockCanvas();
    if (canvas != null)
    {
        canvas.drawBitmap(bmp, (canvas.getWidth() - bmp.getWidth()) / 2,
            (canvas.getHeight() - bmp.getHeight()) / 2, null);

        surface.unlockCanvasAndPost(canvas);
    }
    bmp.recycle();
}

```

Fig. 3.2. Detecția fețelor, implementată în clasa FaceDetectionView

3.1.1. Detalii legate de platforma Android

Orice aplicație pe platforma Android necesită setarea configurației, deoarece fiecare aplicație rulează cu o identitate de sistem diferită. De aceea kernelul Linux izolează aplicațiile una de cealaltă și de sistem. Pentru a putea comunica cu acestea trebuie garantate anumite permisiuni aplicației, setate în fișierul XML numit `AndroidManifest`¹⁰, atașat aplicației. Pentru clientul meu am folosit permisiuni pentru folosirea internetului (atât pentru comunicarea cu serverul, cât și pentru logarea cu Facebook) și pentru folosirea camerei de luat vederi a aparatului. Solicitarea permisiunilor se poate observa în Fig. 3.3. Fișierul `AndroidManifest` este folosit și pentru a specifica versiunea minimă de platformă Android pe care rulează, activitatea de lansare a aplicației și proprietăți ale fiecărei activități din aplicație.

```
<uses-permission android:name="android.permission.CAMERA"/>
<uses-feature android:name="android.hardware.camera" />
<uses-feature android:name="android.hardware.camera.autofocus" />
<uses-permission android:name="android.permission.INTERNET"/>
```

Fig. 3.3. Setarea permisiunilor în fișierul `AndroidManifest.xml`

În sistemul de operare Android, o *activitate*¹¹ reprezintă un ecran cu care utilizatorul poate interacționa pentru a face o acțiune, fiecărei activități corespunzându-i o fereastră. De fiecare dată când o nouă activitate începe, activitatea anterioară este oprită, dar păstrată într-o stivă numită „the back stack”. Trecerea de la o activitate la alta se face prin intermediul clasei `Intent`, care poate transmite parametri la activitatea următoare prin intermediul clasei `Bundle`¹². Trecerea de la o activitate la alta este exemplificată în Fig. 3.4.

¹⁰ Android Manifest File - <http://developer.android.com/guide/topics/manifest/manifest-intro.html>

¹¹ Activity - <http://developer.android.com/reference/android/app/Activity.html>

¹² Bundle - <http://developer.android.com/reference/android/os/Bundle.html>


```

//choose the activity to be started
Intent i = new Intent(FaceDetectionActivity.this,
                    RecognitionResponseActivity.class);

//pass parameters
Bundle bun = new Bundle();
bun.putSerializable("response", rsp);
i.putExtras(bun);

// start the new activity
startActivity(i);

```

Fig. 3.4. Trecerea din FaceDetectionActivity în RecognitionResponseActivity, trimițând răspunsul de la server drept parametru.

Un *view*¹³ este responsabil de desenarea și de tratarea evenimentelor dintr-o activitate. Pentru activitatea responsabilă cu vizualizarea răspunsului la cererea de recunoaștere a fețelor (RecognitionResponseActivity) am implementat un view propriu ce formatează dispunerea elementelor pe linie din lista activității (Fig. 3.5.). Astfel, IconifiedTextView este împărțit în 2 părți:

- în stânga este dispusă imaginea de profil (de pe Facebook) a persoanei recunoscute;
- în dreapta este un view imbricat ce conține 5 TextView-uri suprapuse: numele, data nașterii, sexul, statusul relației și linkul de profil Facebook al persoanei.

Pentru a folosi un view propriu este nevoie de crearea unui adaptor propriu, atașat activității ce va conține view-ul, pentru a face legătura dintre informațiile date ca parametrii view-ului și view.

¹³ View - <http://developer.android.com/reference/android/view/View.html>

```
this.setOrientation(HORIZONTAL);

//create a embedded layout
LinearLayout hor = new LinearLayout(context);
hor.setOrientation(VERTICAL);

mIcon = new ImageView(context);
mIcon.setImageDrawable(aIconifiedText.getIcon());

// left, top, right, bottom
mIcon.setPadding(0, 2, 5, 0); // 5px to the right

// At first, add the Icon
addView(mIcon, 0);

//add the embedded view
hor.addView(nameTextView, 0);

//add the rest of the componetns in the embedded view

//. . .
```

Fig. 3.5. Fragmente din constructorul view-lui IconifiedTextView

3.2 Serverul

3.2.1. Recunoașterea fețelor

Pentru algoritmul Nefian - Hayes [3][4] am implementat următoarele funcții:

- 1) Funcția 2D-DCT folosită în faza de procesare a imaginii pentru obținerea vectorilor de observație necesari antrenării și recunoașterii fețelor, în varianta AAN (Arai/ Agui/ Nakajima)¹⁴, care este mult mai eficientă decât metoda clasică, deoarece se aplică 1D-DCT pe linii, apoi pe coloane.
- 2) Segmentarea uniformă a imaginii în numărul de superstări și substări.
- 3) Inițializarea parametrilor modelului, aplicând algoritmul de clusterizare k-means (în maxim 1000 de iterații). În procesul de clusterizare un rol important îl au media, variația și greutatea observațiilor.
- 4) Reestimarea parametrilor modelului, apelată la fiecare iterație în faza de antrenament, în care se recalculează probabilitățile de tranziție dintre superstări și dintre stările integrate, probabilitățile de emisie a observațiilor, după o variantă a algoritmului Baum-Welch¹⁵ de antrenare a HMM-urilor, adaptat pentru cazul 2D.
- 5) Algoritmul de segmentare Viterbi: se calculează scorul Viterbi (standard) pe fiecare HMM integrat pentru fiecare linie a imaginii în parte și se decide cărei superstări îi corespunde vectorul de observație. În interiorul superstărilor, făcând traceback, se decide cărei stări îi corespunde fiecare observație.

Pentru a antrena un HMM integrat pentru o singură persoană sunt apelate funcțiile de mai sus, după cum se observă în Fig. 3.6.

```
//prepare the observation vectors
MyEmbeddedHMM eHMM = this.Create2DHMM();
File folder = new File(directoryName);
for (File f : files)
{
    PictureObservation obs = PictureObservation.loadPicture(f);
    observations.add(obs);
    this.UniformSegmentation(obs, eHMM);
}
InitMixSegmentation(observations, eHMM);
```

¹⁴ Varianta 2D-DCT propusa de Arai, Agui și Nakajima - <http://unix4lyfe.org/dct/>

¹⁵ Algoritmul Baum-Welch - http://en.wikipedia.org/wiki/Baum%E2%80%9393Welch_algorithm

```

// train the HMM
while (!isOk && crtIteration < MaxIteration) {
    //reestimate weights, means and covariance
    EstimateHMMPParameters(imageObservation, eHMM);
    EstimateTransitionProbability(imageObservation, eHMM);
    double distance = 0;
    for (int i = 0; i < imageObservation.size(); i++)
    {
        EstimateObservationProbability(imageObservation.get(i), eHMM);
        distance += Viterbi2D(imageObservation.get(i), eHMM);
    }
    distance /= imageObservation.size() * (PictureObservation.L * PictureObservation.P);
    //reassign mixture numbers to all observations
    MixSegmentation(imageObservation, eHMM);
    isOk = Math.abs(oldDistance - distance) < 0.01;
    oldDistance = distance;
    crtIteration++;
}

```

Fig. 3.6. Pașii algoritmului de antrenare pentru o persoană. În algoritmul meu, algoritmul se aplica până când se depășesc 1000 de iterații sau până când diferența de scor dintre 2 iterații devine mai mică decât 10^{-2} .

Pentru partea de recunoaștere a fețelor se folosește algoritmul Viterbi 2D și se alege scorul maxim obținut, după cum se observă în Fig. 3.7.

```

double maxLike = Double.NEGATIVE_INFINITY;

// load the test picture to be recognized
PictureObservation obs = PictureObservation.loadPicture(new File(bitmap));

for (int i = 0; i < facesDb.size(); i++) {
    MyEmbeddedHMM crtHmm = facesDb.get(i).hmm;

    // apply Viterbi 2D and get observation score
    double distance = Viterbi2D(obs, crtHmm);

    if (distance > maxLike) {
        maxLike = distance;
        bestMatch = i;
    }
}

return facesDb.get(bestMatch);

```

Fig. 3.7. Funcția de recunoaștere a feței.

3.2.1. Legătura cu baza de date

Pentru a face legătura cu baza de date MySQL am folosit pachetul „java.sql” și driverul JDBC ce se ocupă de comunicarea cu baza de date și am apelat instrucțiunile din Fig. 3.8.

```

// Load the JDBC driver
String driverName = "com.mysql.jdbc.Driver"; // MySQL MM JDBC driver
Class.forName(driverName);

// Create a connection to the database
String serverName = "localhost";
String mydatabase = "face_recognition";

String url = "jdbc:mysql://" + serverName + "/" + mydatabase; // a JDBC url

String username = "root";
String password = "";
connection = DriverManager.getConnection(url, username, password);

```

Fig. 3.8. Conectarea la baza de date prin driverul JDBC.

Pentru implementarea operațiilor asupra bazei de date, am executat următorii pași: am setat nivelul de izolație al bazei de date, pentru a preveni fenomenul de injection; am creat un savepoint la care să mă pot întoarce în cazul în care apare o eroare în timpul tranzacției, pentru a nu avea date incomplete sau compromise; am creat query-ul și l-am executat; am comis operația la baza de date. În exemplul din Fig. 3.9. se execută o inserare sau actualizare a unui utilizator.

```
try
{
    conn.setTransactionIsolation(Connection.TRANSACTION_SERIALIZABLE);

    conn.setSavepoint();
    String query = "INSERT INTO basicinformation VALUES(" +
        "\"" + user.getFbId() + "\", " +
        "\"" + user.getName() + "\", " +
        "\"" + user.getBirthdate() + "\", " +
        "\"" + user.getGender() + "\", " +
        "\"" + user.getRel_sts() + "\", " +
        "\"" + user.getProfile_url() + "\" )";

    query += "ON DUPLICATE KEY UPDATE " +
        "Name = " + "\"" + user.getName() + "\", " +
        "Birthdate = " + "\"" + user.getBirthdate() + "\", " +
        "Gender = " + "\"" + user.getGender() + "\", " +
        "Profile_url = " + "\"" + user.getProfile_url() + "\", " +
        "Rel_status = " + "\"" + user.getRel_sts() + "\" ";

    ok = statement.execute(query);

    conn.commit();
}
catch (SQLException e)
{
    conn.rollback();
    log.Println("[DBOperation]: " + e.getMessage());
}
```

Fig. 3.9. Inserare utilizator în baza de date, în cazul în care nu există, sau update, altfel.

Concluzi

În această lucrare am studiat și implementat 2 algoritmi de actualitate și foarte importanți din domeniul Viziunii Calculatoarelor: algoritmul Viola – Johnes [1][2] pentru detecția fețelor în timp real și algoritmul Nefian – Hayes [3][4] pentru recunoașterea fețelor.

În cazul algoritmului Viola – Johnes am constatat că rata fals – pozitivelor (circa 20%) este mult mai mare decât rata fals – negativelor (3%). Procesarea imaginii și detectarea este realizată în timp real, însă complexitatea algoritmului crește atunci când dimensiunea minimă a feței de detectat crește, astfel încât și timpul de procesare devine mai mare și întreaga aplicație este încetinită.

În cazul algoritmului Nefian – Hayes, rularea algoritmului necesită foarte mult timp pentru faza de antrenament (aprox. 15 minute de persoană, 8 – 9) și nu poate rula în timp real, însă timpul de procesare pentru recunoaștere este relativ mic (aproximativ 5 secunde). Algoritmul are o rată de recunoaștere de 95% pe poze din baza de date, însă rata de recunoaștere scade drastic la primirea pozei de pe telefon, întrucât este afectată calitatea imaginii.

Directii de dezvoltare

Pe viitor îmi propun să îmbunătățesc timpul de procesare pentru algoritmul Nefian – Hayes, faza de recunoaștere a fețelor, prin optimizări ale codului și ale accesului la baza de date, precum și rata recunoașterii pentru pozele cu o calitate mai slabă. În plus, voi face recunoașterea doar pe acei utilizatori din baza de date care au aceeași locație curentă ca și dispozitivul mobil (lucru aflat accesând GPS-ul dispozitivului).

De asemenea, îmi propun să extind aplicația să conțină și opțiunea de a rula detecția și recunoașterea fețelor încărcând poze sau videoclipuri din memorie. Pe viitor se va reține un istoric al cererilor făcute de fiecare utilizator și se vor putea vedea ulterior.

Bibliografie:

1. P. Viola, M. Jones: „Rapid Object Detection using a Boosted Cascade of Simple Features”, 2001;
2. P. Viola, M. Jones: „Robust real-time object detection”, 2001;
3. Ara V. Nefian, Monson H. Hayes III, “Face recognition using an embedded HMM”, IEEE Conference on Audio and Visual-based Person Authentication, 1999;
4. Ara V. Nefian, Monson H. Hayes III, Hidden Markov Models for face recognition, IEEE International Conference on Acoustic Speech and Signal Processing 1998;
5. Ole Helving Jensen: „Implementing the Viola-Jones Face Detection Algorithm”, 2008 ;
6. http://en.wikipedia.org/wiki/Face_detection
7. http://en.wikipedia.org/wiki/Viola%E2%80%93Jones_object_detection_framework
8. <http://www.codeproject.com/Articles/85113/Efficient-Face-Detection-Algorithm-using-Viola-Jon>
9. <http://opencv.willowgarage.com/wiki/FaceDetection>
10. <http://www.facedetection.com/index.htm>
11. <http://www.facedetection.com/facedetection/techniques.htm>
12. <http://www.biometrics.gov/Documents/facerec.pdf>
13. <http://www.face-rec.org/algorithms/>
14. http://en.wikipedia.org/wiki/Facial_recognition_system
15. Varianta 2D-DCT propusa de Arai, Agui și Nakajima - <http://unix4lyfe.org/dct/>
16. OpenCV - <http://opencv.willowgarage.com/wiki/>
17. DCT - http://en.wikipedia.org/wiki/Discrete_cosine_transform
18. Algoritmul k-means - http://en.wikipedia.org/wiki/K-means_clustering